

Журнал издается одновременно на русском («Известия Академии наук. Серия химическая») и английском («Russian Chemical Bulletin») языках. Подробную информацию о журнале, содержания номеров журнала в графической форме и аннотации статей, а также годовые предметные и авторские указатели можно получить в Интернете по адресу: <http://www.russchembull.ru/rus/>

The Journal is published in Russian and English.

The International Edition is published under the title «Russian Chemical Bulletin» by Springer:
233 Spring St. New York NY 10013 USA. Tel.: 212 460 1572. Fax: 212 647 1898.

Detailed information concerning the journal contents of issues with graphical and text abstracts as well as annual subject and author indices can be found in the Internet at <http://russchembull.ru>

Содержание

Бойнович Людмила Борисовна (к шестидесятилетию со дня рождения)

Изв. АН. Сер. хим., 2020, № 6, ix

Буряк Алексей Константинович (к шестидесятилетию со дня рождения)

Изв. АН. Сер. хим., 2020, № 6, x

Еременко Игорь Леонидович (к семидесятилетию со дня рождения)

Изв. АН. Сер. хим., 2020, № 6, xi

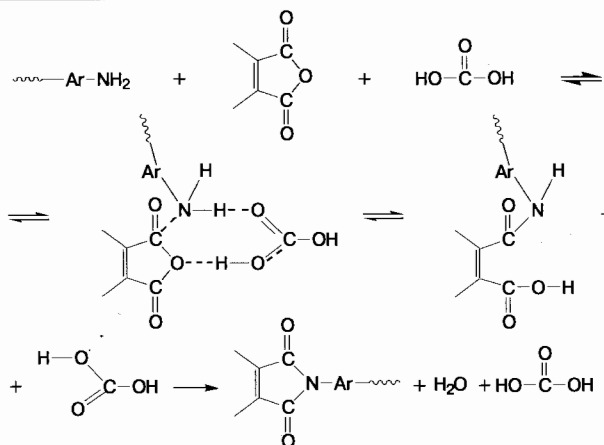
Максимов Антон Львович (к пятидесятилетию со дня рождения)

Изв. АН. Сер. хим., 2020, № 6, xii

Обзоры

Поликонденсация в сверхкритическом диоксиде углерода: вклад Института элементоорганических соединений им. А. Н. Несмеянова Российской академии наук

Э. Е. Саид-Галиев, М. Л. Кештов,
А. Р. Хохлов, Я. С. Выгодский,
Р. А. Дворикова, Н. М. Беломоина,
Е. Г. Булычева

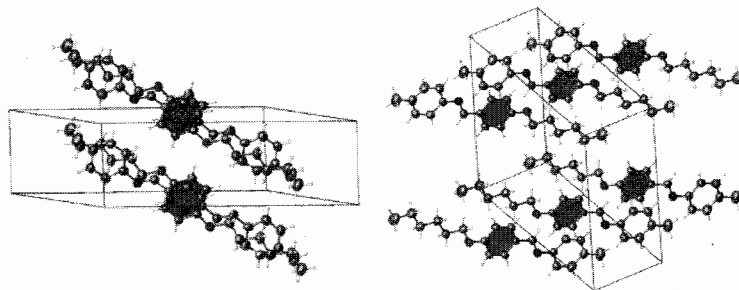


Изв. АН. Сер. хим., 2020, № 6, 1035

Полные статьи

Мезоморфизм и кристаллическая упаковка дихотомных соединений; рентгеновская структура гексилоксибензилиден-4'-толуидина

Л. Г. Кузьмина, П. Калле,
А. В. Чураков



Изв. АН. Сер. хим., 2020, № 6, 1054

Сравнительный анализ фазовых диаграмм систем органохлорсилан/органалоксисилан—растворитель—вода

П. В. Иванов, Н. Г. Мажорова

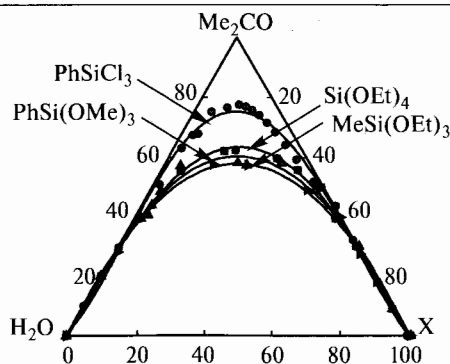


Диаграмма фазового равновесия систем X—Me₂CO—H₂O, где X = PhSiCl₃, Si(OEt)₄, PhSi(OMe)₃, MeSi(OEt)₃.

Изв. АН. Сер. хим., 2020, № 6, 1061

Энтальпийно-энтропийная компенсация при координации иона металла порфиринами: обобщение для свободных оснований и дважды депротонированных макроциклов

Н. Н. Крук, С. Г. Пуховская,
Ю. Б. Иванова, О. И. Койфман

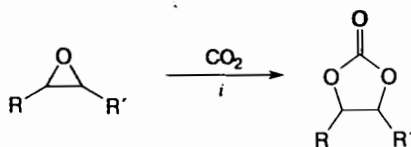


* М — катион металла, Solv — молекула растворителя, X — ацидолиганд (анион соли).

Изв. АН. Сер. хим., 2020, № 6, 1072

Применение диаммонийной соли в синтезе органических карбонатов из эпоксидов и CO₂: содействующий эффект подложки

С. Е. Любимов, А. А. Звинчук,
В. А. Даванков, Б. Чоудхури,
А. В. Арзумян, А. М. Музафаров

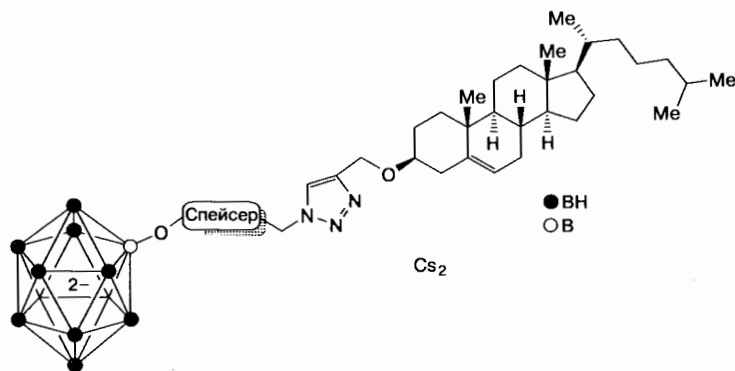


Реагенты и условия: *i*. катализатор Et₃N⁺(CH₂)N⁺Et₃ · 2Br⁻; подложки SiO₂, Al₂O₃, TiO₂, поливиниловый спирт.

Изв. АН. Сер. хим., 2020, № 6, 1076

Синтез конъюгатов клозо-додекаборатного дианиона с холестерином с использованием «click»-реакции

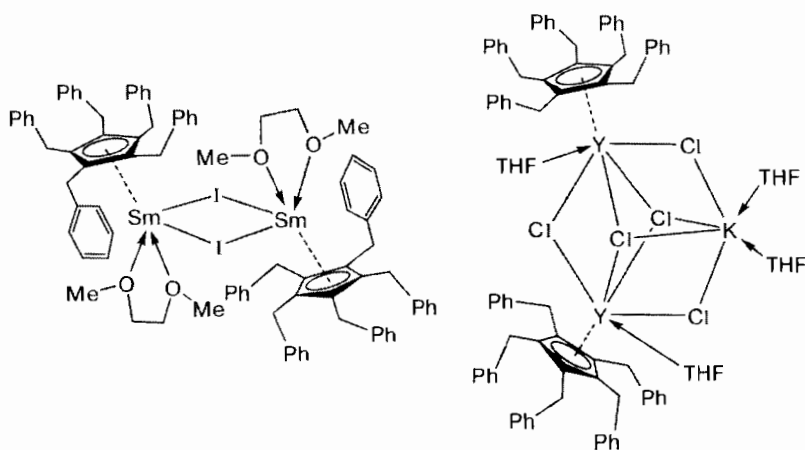
А. А. Друзина, О. Б. Жидкова,
И. Д. Косенко



Изв. АН. Сер. хим., 2020, № 6, 1080

Синтез и строение полусэндвичевых циклопентадиенилгалогенидных комплексов Sm^{II} и Y^{III} с пента(бензил)циклопентадиенильным лигандом

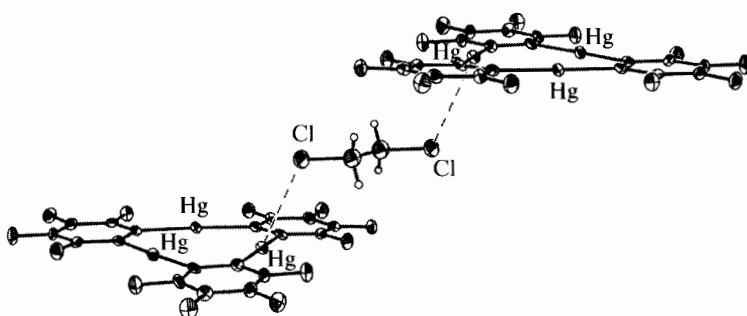
А. Н. Селихов, Д. М. Любов,
Т. В. Махрова, А. В. Черкасов,
Г. К. Фукин, А. А. Трифионов



Изв. АН. Сер. хим., 2020, № 6, 1085

Координационная химия антикраунов. Синтез и строение биядерного комплекса перфторированного трехртутного антикрауна (o-C₆F₄Hg)₃ с 1,2-дихлорэтаном

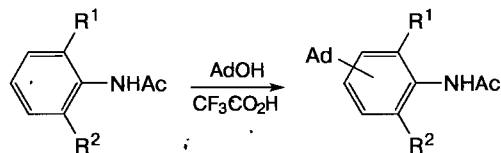
К. И. Тугашов, С. М. Юнусов,
Е. С. Калюжная, Ф. М. Долгушин,
И. А. Тихонова, В. Б. Шур



Изв. АН. Сер. хим., 2020, № 6, 1092

Адаптирование ароматических и жирно-ароматических ацетамидов в трифторуксусной кислоте

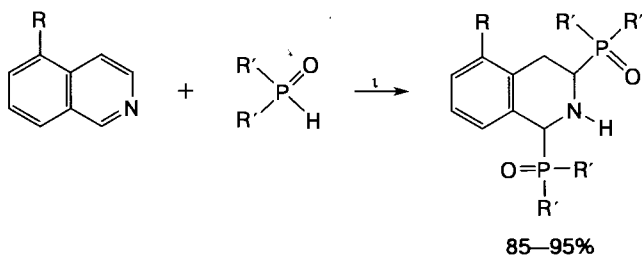
И. А. Новаков, Б. С. Орлинсон,
Д. В. Завьялов, В. И. Порхун,
Е. Н. Савельев, Е. А. Потаенкова,
О. В. Вострикова, М. А. Наход,
А. В. Киреева, А. М. Пичугин



Изв. АН. Сер. хим., 2020, № 6, 1096

Некаталитическое регио- и хемоселективное присоединение вторичных фосфиноксидов к изохинолинам

П. А. Волков, Н. К. Гусарова,
А. А. Тележкин, К. О. Храпова,
Н. И. Иванова, А. И. Албанов,
Т. И. Вакульская, С. С. Хуцишвили,
Б. А. Трофимов



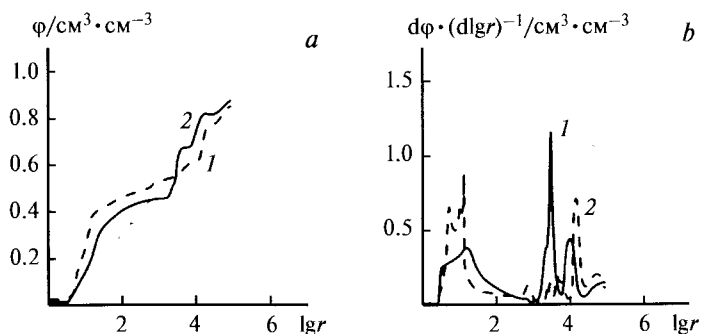
t. 70–75 °С, 10–15 ч.

R = H, NH₂; R' = Ph, Ph(CH₂)₂, 4-ClC₆H₄(CH₂)₂

Изв. АН. Сер. хим., 2020, № 6, 1102

Оптимизация пористой структуры в углеродных электроспиннинговых наноматериалах

К. М. Скупов, И. И. Пономарев,
Ю. М. Вольфович, В. Е. Сосенкин,
Ив. И. Пономарев, Ю. А. Волкова,
Д. Ю. Разоренов, А. Г. Буяновская,
В. Н. Таланова

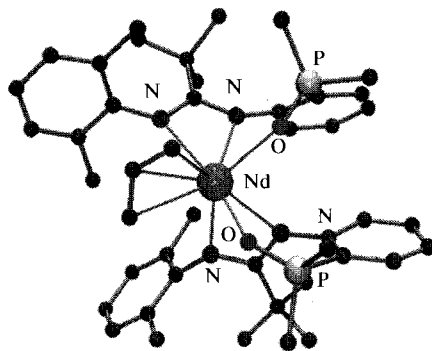


Порометрические данные для образца полиакрилонитрил/Vulcan/Zr/Ni, окисленного на воздухе (350 °С) и пиролизованного в вакууме (1000 °С) после кислотной обработки: интегральное (а) и дифференциальное распределение объема пор (b) в зависимости от логарифма радиуса пор (*r*/нм) по октану (1) и воде (2).

Изв. АН. Сер. хим., 2020, № 6, 1106

Монохлоридный и моноаллильный комплекс неодима {2-[Ph₂P(O)]C₆H₄NC(Bu^t)N(2,6-Me₂C₆H₃)}₂NdR (R = Cl, CH₂CH=CH₂) с тридентатным амидинатным лигандом в катализе полимеризации с раскрытием цикла циклических эфиров

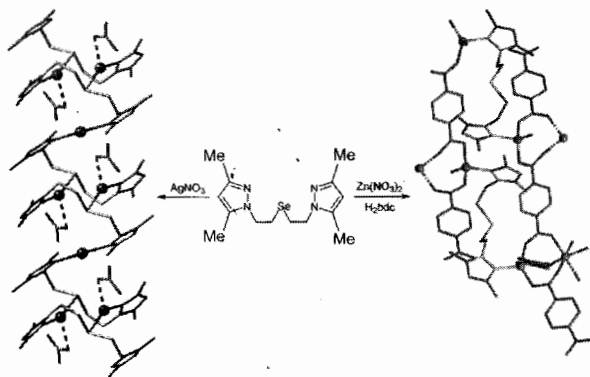
А. О. Толпыгин, О. А. Линникова,
Т. А. Ковылина, А. В. Черкасов,
Г. К. Фукин, А. А. Трифонов



Изв. АН. Сер. хим., 2020, № 6, 1114

Координационные полимеры на основе 1,5-бис(3,5-диметилпиразол-1-ил)-3-селенапентана: синтез, строение, свойства

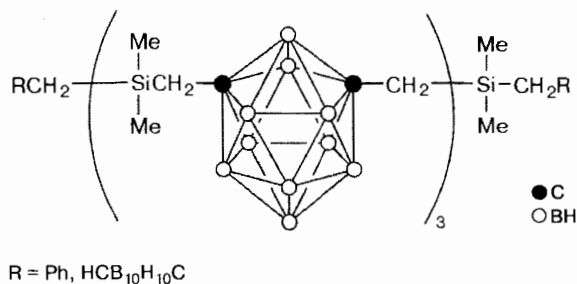
А. А. Лысова, Р. Д. Марченко,
Д. Г. Самсоненко, А. С. Потапов,
В. П. Федин



Изв. АН. Сер. хим., 2020, № 6, 1122

Новые олиго-*m*-карборанилметиленилсиланы

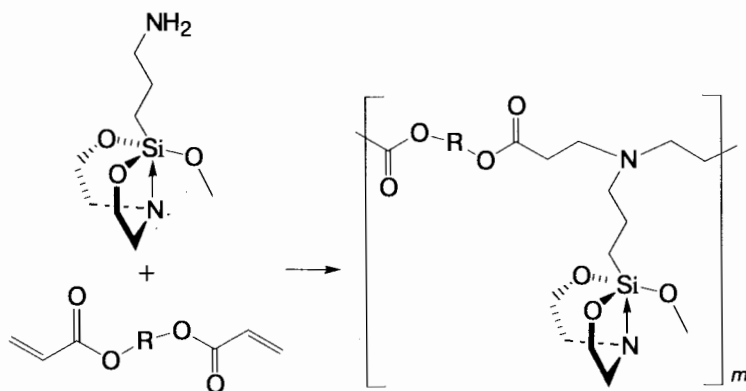
Б. А. Измайлов, В. А. Васнев,
Г. Д. Маркова



Изв. АН. Сер. хим., 2020, № 6, 1130

Силатрансодержащие поли(β-аминоэфир)

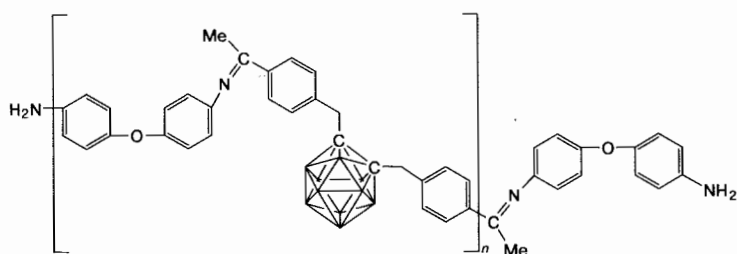
В. В. Истратов, В. А. Васнев



Изв. АН. Сер. хим., 2020, № 6, 1134

Полиазометин и полифенилен на основе 1,2-бис(4'-ацетилбензил)-*o*-карборана

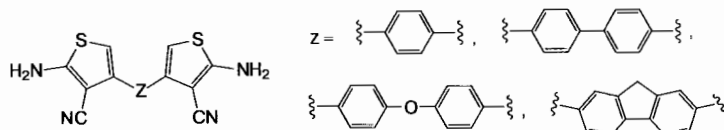
Н. С. Кушакова, А. В. Наумкин,
И. Б. Сунцова, Д. В. Куприянова,
В. Г. Харитонов, С. А. Бабич,
А. И. Ковалев, И. А. Хотина



Изв. АН. Сер. хим., 2020, № 6, 1138

Тиофенсодержащие мономеры для синтеза новых политиофенферроценов

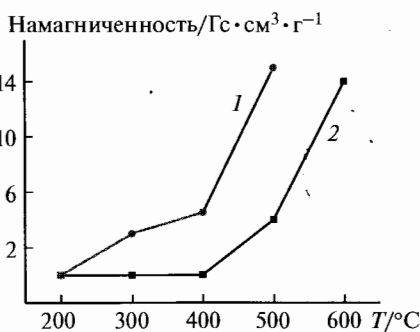
Е. Н. Родловская, В. А. Васнев



Изв. АН. Сер. хим., 2020, № 6, 1148

Новые магнитные наноматериалы на основе растворимых ферроценсодержащих полимеров

Р. А. Дворикова, М. М. Ильин,
А. А. Корлюков, М. И. Бузин,
И. В. Шетинин

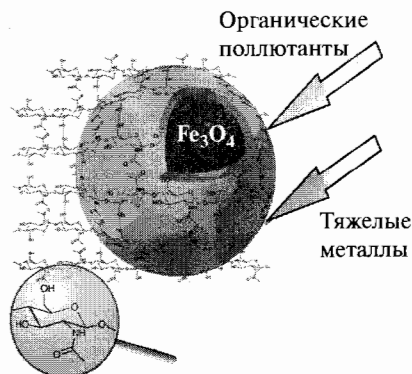


Зависимость намагниченности от температуры нагрева для образцов магнитных наноматериалов на основе растворимых ферроценсодержащих полифениленов, синтезированных при 80 °С как в обычных условиях (1), так и при ультразвуковом облучении (2).

Изв. АН. Сер. хим., 2020, № 6, 1151

Магнитный композит на основе хитина для удаления загрязняющих веществ из водных сред

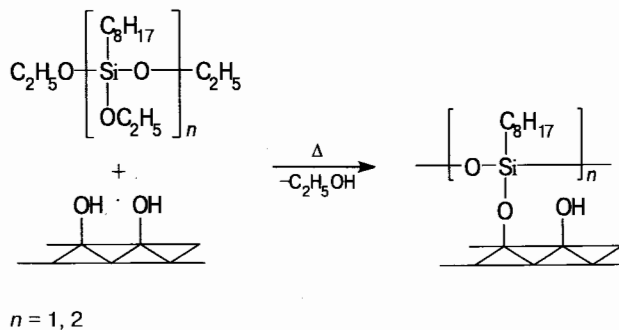
Н. А. Самойлова, М. А. Краюхина



Изв. АН. Сер. хим., 2020, № 6, 1157

Гидрофобные покрытия на основе октилтриэтоксисилоксана

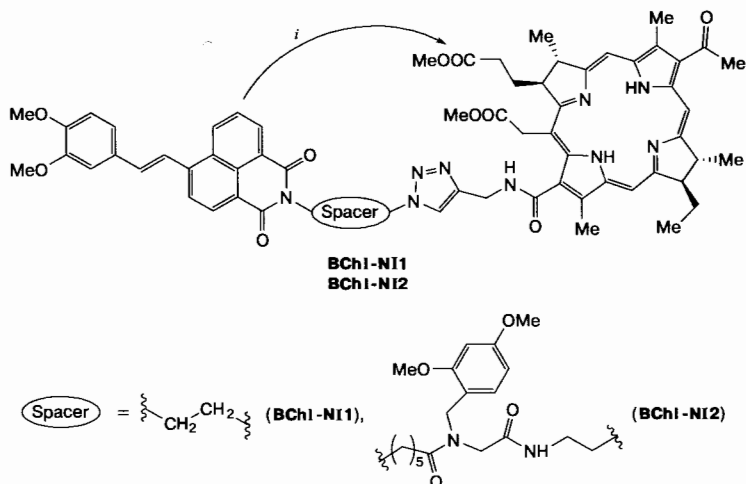
О. В. Баранов, Л. Г. Комарова,
С. С. Голубков



Изв. АН. Сер. хим., 2020, № 6, 1165

Конъюгаты 3,4-диметокси-4-стирил-нафталимида и бактериохлорина для фотодинамической терапии

М. А. Захарко, П. А. Панченко,
Д. П. Зарезин, В. Г. Ненайденко,
Д. А. Притьмов, М. А. Грин,
А. Ф. Миронов, О. А. Федорова

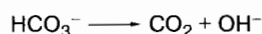


i. Перенос энергии.
Spacer — спейсер, BChl — бактериохлорин,
NI — 4-стирилнафталимид.

Изв. АН. Сер. хим., 2020, № 6, 1169

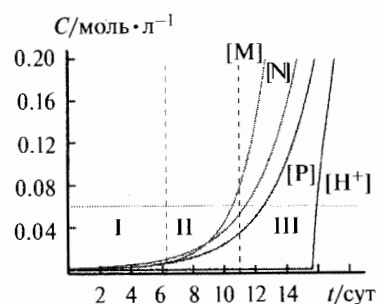
Кинетическая модель развития острой вирусной инфекции в организме человека. Критические условия, механизмы управления, «термогелиокс»

Кинетика развития острой вирусной инфекции



$$d[\text{H}^+]/dt = \gamma([\text{H}^+]_0 - [\text{H}^+]) + \delta[\text{M}] - v_c,$$

где $[\text{H}^+]$ — усредненная концентрация протонов в очаге поражения, γ — коэффициент массопереноса, $\gamma([\text{H}^+]_0 - [\text{H}^+])$ описывает «открытость» системы по протонам, $[\text{M}]$ — содержание микроорганизмов, v_c — скорость продуцирования ионов OH^- по реакции, катализируемой карбоангидразой.



Динамика изменения концентраций вируса $[\text{N}]$, «разрушенных» клеток $[\text{P}]$, патогенной микрофлоры $[\text{M}]$ и ионов водорода $[\text{H}^+]$ при вирусном инфицировании: I — инкубационный период вируса, II — легкая форма заболевания, III — тяжелая форма и коллапс.

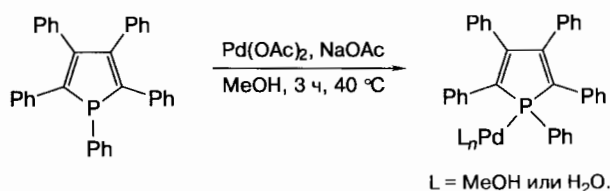
С. Д. Варфоломеев, А. А. Панин,
В. И. Быков, С. Б. Цыбенова,
Л. В. Шогенова, А. Г. Чучалин

Изв. АН. Сер. хим., 2020, № 6, 1179

Краткие сообщения

Стабилизация фосфора в комплексе палладия с 1,2,3,4,5-пентафенилфосфолом

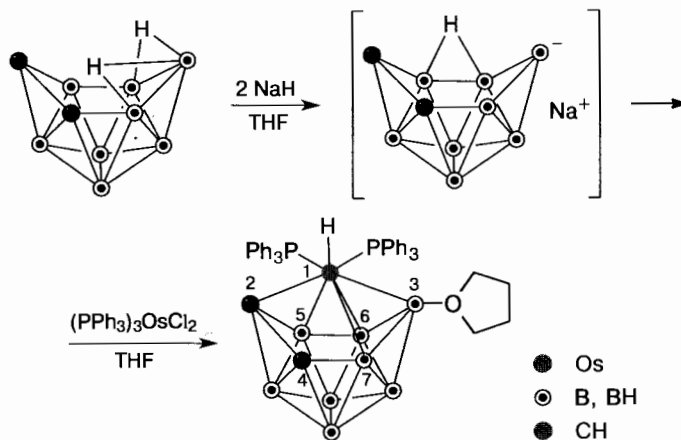
Е. О. Пенцак, А. С. Галушко,
Р. Р. Шайдуллин, В. П. Анаников



Изв. АН. Сер. хим., 2020, № 6, 1185

Новый 11-вершинный осмакарборан 1,1-(PPh₃)₂-1-N-3-O(CH₂)₄-isonido-1,2,4-OsC₂B₈H₉

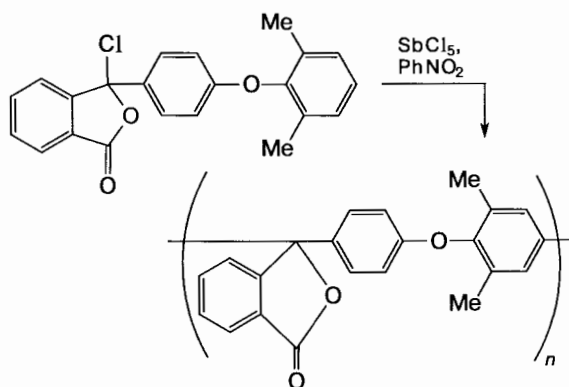
Е. В. Балагурова, И. А. Годовиков,
И. Т. Чижевский



Изв. АН. Сер. хим., 2020, № 6, 1189

Синтез псевдохлорангирида 2-[4-(2,6-диметилфенокси)бензоил]бензойной кислоты и полиарилефталата на его основе

С. Н. Салазкин, В. В. Шапошникова,
Н. Д. Звукова

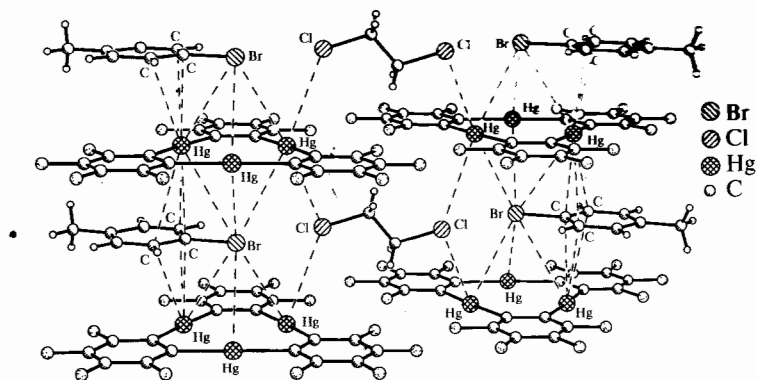


Изв. АН. Сер. хим., 2020, № 6, 1192

Письма редактору

Координационная химия антикраунов.
Шестичленный комплекс перфторированного
циспутного антикрауна (*o*-C₆F₄Hg)₃ с *p*-бром-
циклогексаном и 1,2-дихлорэтаном

К. И. Тугашов, С. М. Юнусов,
Е. С. Калужная, Ф. М. Долгушин,
И. А. Тихонова, В. Б. Шур



Изв. АН. Сер. хим., 2020, № 6, 1195

Информация

Научно-просветительская деятельность Института элементоорганических соединений
И. А. Н. Несмеянова Российской академии наук

Н. А. Быстрова

Изв. АН. Сер. хим., 2020, № 6, 1199